

ایجاد جریان برشی و تغییر مکان خط جریان ایستائی

درج ریان برشی

نوشته: دکتر جمشید فربور - استادیار دانشکده فنی دانشگاه تهران

چکیده

ابتدا روش ایجاد جریان‌های برشی بطور مصنوعی در یک تونل باد توسط یک شبکه مستوی و مت Shank از میله‌های افقی بررسی شده و محاسبات مربوطه همراه با نتایج تجربی ارائه گردیده است. نشان داده شده است که با چنین روشی نمیتوان جریان برشی خطی ای با سبب بیش از ۱/۷۷۷ ایجاد کرد. در بررسی خطوط جریان ایستائی روی یک جسم نتیجه می‌شود که در یک جریان برشی خطوط جریان ایستائی تغییر مکان داده، و حداقل این تغییر مکان تابعی است از نیمرخ سرعت و ضرب فشار. این نابع محاسبه شده و مثال عملی ارائه گردیده است.

مقدمه

جریان‌های که در آنها سرعت تابعی از ارتفاع باشد جریان‌های برشی نامیده می‌شوند. به عبارت کلی جریان‌های با گرادیان سرعت، جریان‌های برشی می‌باشند. عملاً "کلیه سازه‌ها در لایه مرزی زمین قرار دارند که در آن سرعت جریان هوا یا بادبا ارتفاع افزایش می‌یابد و درنتیجه تحت تاثیر جریان‌های برشی قرار دارند. بنابراین برای مطالعه اثرنیروی باد روی سازه‌ها می‌باشند مشخصات جریان را در نزدیکی سازه‌ها معلوم کرد. این مشخصات را معمولاً "می‌توان با آزمایشات در تونل‌های باد معلوم نمود. در این صورت برای ایجاد چنین جریانی می‌باشند در تونل باد لایه مرزی ضخیمی ایجاد کرد. این کار عملاً "حالی از اشکال نیست، زیرا می‌باشند تونل بادی به طول زیاد ساخت بطوری که ضخامت لایه مرزی در آن به حدی برسد که بتوان مدلی با مقیاس مناسب را در این لایه مرزی قرار داده و آزمایشات لازم را انجام داد. از این‌رو ساده تر خواهد بود که نیمرخ لازم را به طور مصنوعی در تونل ایجاد کرد. در زیر ابتدا به طور خلاصه طرز ایجاد چنین نیمرخ سرعتی در تونل‌های باد شرح داده شده و سپس مشخصات آن بیان می‌شود.

۱- ایجاد جریان برشی در تونل باد

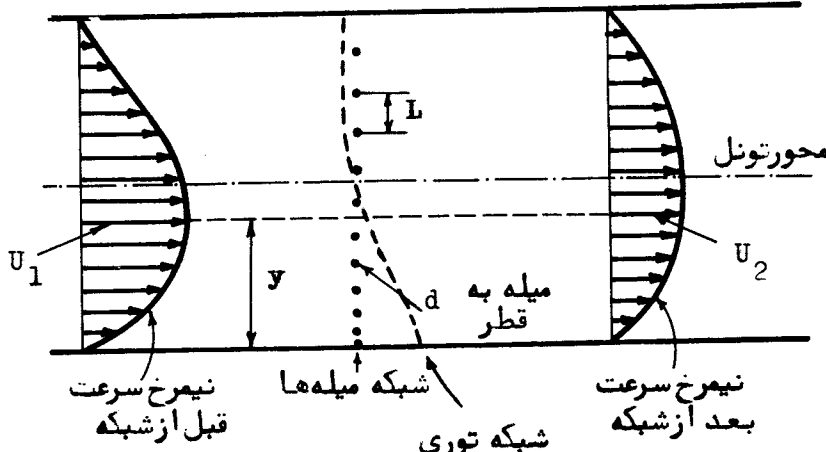
یکی از روش‌های ایجاد جریان برشی در تونل باد استفاده از افت فشار مربوط به اجسام پخ مثل استوانه است. این روش برای بار اول توسط [Elder] معرفی گردید. وی با استفاده از یک شبکه توری منحنی که در سرراه جریان قرار داد توانست نیمرخ لازم را بدست آورد. بعدها [Owen, Zienkiewitz] روش ساده تری را معرفی کردند. در این روش از یک شبکه مستوی مت Shank از میله‌های نازک افقی که به فواصل مختلف ولی معین از یکدیگر قرار دارند و در سرراه جریان قرار داده می‌شوند استفاده می‌گردد. شکل (۱) بطور شماتیک نمایش دهنده چنین شبکه‌هایی می‌باشد. چون، مطابق این شکل، تراکم میله‌ها در کف بیشتر است بنابراین افت جریان در این قسمت بیشتر بوده و درنتیجه سرعت جریان کاهش می‌یابد ولی در لایه‌های بالاتر که تراکم میله‌ها کمتر می‌شود سرعت بتدریج افزایش می‌یابد. در مورد شبکه توری تصویر تارهای شبکه در صفحه قائم دارای تراکم‌های متفاوت می‌باشد.

Elder توانست رابطه‌ای خطی بین توزیع سرعت‌های قبل و بعد از شبکه مستوی و مشخصات شبکه بدست آورد، که از روی آن می‌توان شبکه را طراحی نمود. یکی از مزایای این روش بررسی شبکه توری منحنی در این است که

جريان قبل از شبکه، می‌توند غیر یکنواخت باشد. مزیت دیگر آن ساده بودن ساخت این شبکه است که ضمناً به فضای زیادی نیاز احتیاج ندارد.

در شکل (۱) نیمروخ های سرعت قبل و بعد از شبکه میله (بطور شماتیک) در تونل بادی به ارتفاع h نشان داده شده است. اگر سرعت بی‌بعد (نسبت سرعت در ارتفاع y به سرعت در محور تونل) قبل از شبکه U_1 و بعد از شبکه U_2 باشد Elder نشان داد که رابطه زیر برقرار است:

$$U_2 - 1 = A(U_1 - 1) - \frac{1}{2}(1 - A) \cdot S \quad (1)$$



شکل ۱- نیمروخهای سرعت قبل و بعد از شبکه مستوی یا منحنی

که در آن A میزان مقاومت (degree of resistance) در مقابل جريان است. چون قدرت جريان (قدرتی که باعث ایجاد جريان می‌گردد) ثابت است لذا بنا بر قانون پیوستگی $\int_0^h s(y) dy = 0$. عددی است بی‌بعد که تابع ضریب بر B (lift Coefficient) $B = A/(2-B)$ و ضریب افت فشار شبکه (K) می‌باشد.

$$A = [(2-B)(1-K)+K] / [(2-B)+K] \quad (2)$$

[۳] نشان داده که B خودتابعی از K بصورت زیر است: Mc.Carthy

$$B = 1 - 1 \cdot 1 / \sqrt{1 + K} \quad (3)$$

و نیز میزان مقاومت در مقابل جريان نیز نابعی از قطر میله‌های شبکه d و فاصله مرکز دو میله متواالی (L) است. اين رابطه به صورت زير بيان مي‌گردد:

$$S = \frac{d/L}{K(1-d^2/L^2)} - 1 \quad (4)$$

از ترکيب روابط (۱) و (۴) معادله درجه دومی بر حسب d/L بدست خواهد آمد. با در نظر گرفتن $0 < d/L < 1$ ريسه اين معادله درجه دوم به صورت زير بدست مي‌آيد:

$$d/L = \frac{(2X+1) - \sqrt{4X+1}}{2X} \quad (5)$$

$$X = K \left\{ 1 + \frac{2}{1-A} \left[A(U_1 - 1) - (U_2 - 1) \right] \right\} \quad (6)$$

اگرچه فرض می‌کنیم که نیمروخ سرعت مورد لزوم بعد از شبکه خطی (ساده ترین تقریب برای نیمروخ سرعت در لایه مرزی) باشد، بدین معنی که سرعت در کف برابر صفر باشد و با ارتفاع از کف بصورت خطی افزایش یابد، در این صورت:

$$U_2 - 1 = \lambda(y/h - \frac{1}{2}) \quad (7)$$

که در آن λ شیب نیميخ سرعت است. در این حال K دارای مقداری اختیاری نیست و دارای کمینه‌ای برابر با K است که تابعی از λ است. بدین معنی که بازاء هر مقدار K دارای مقدار بیشینه‌ای خواهد بود که با توجه به رابطه $d/L > 1$ از $y=h$ بدست می‌آید. برای بدست آوردن این رابطه نگارنده روش زیر را پیشنهاد نموده است [۴].

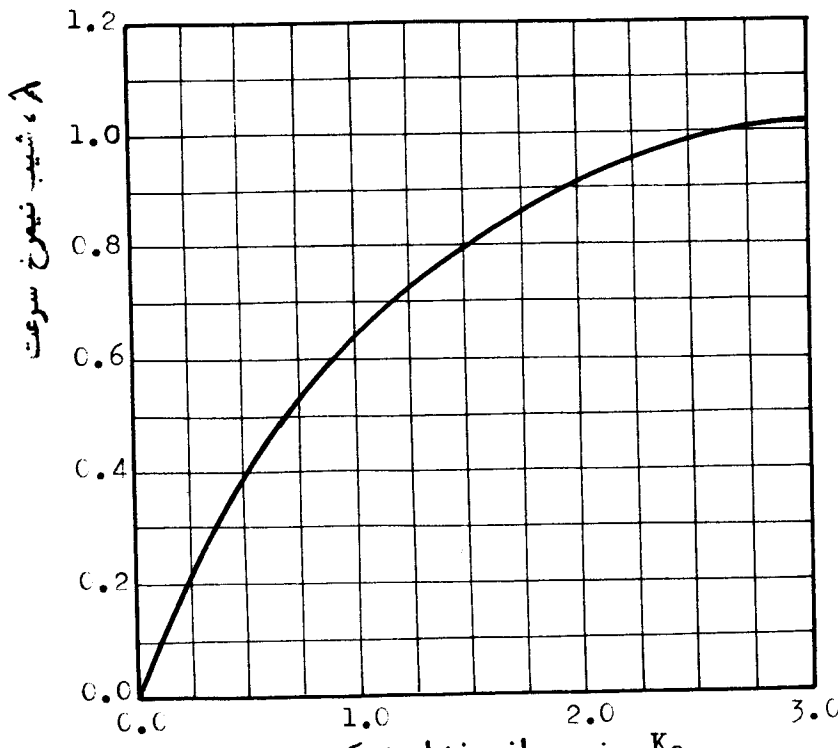
d/L را برابر صفر فرض می‌کنیم. این بدان معنی است که $y=0$ و یا $I=0$ بینهایت است، که در هر صورت هیچگونه مقاومتی در مقابل جریان وجود ندارد و افت فشار کمینه است، یعنی $K_0 = K_{\infty}$ در این صورت چنانچه فرض کنیم جریان قبل از شبکه یکنواخت است ($U_1 = 1$) از روابط (۵) و (۶) خواهیم داشت:

$$\lambda = \frac{K_0(1+\alpha)}{1 + \alpha + K_0} \quad (8)$$

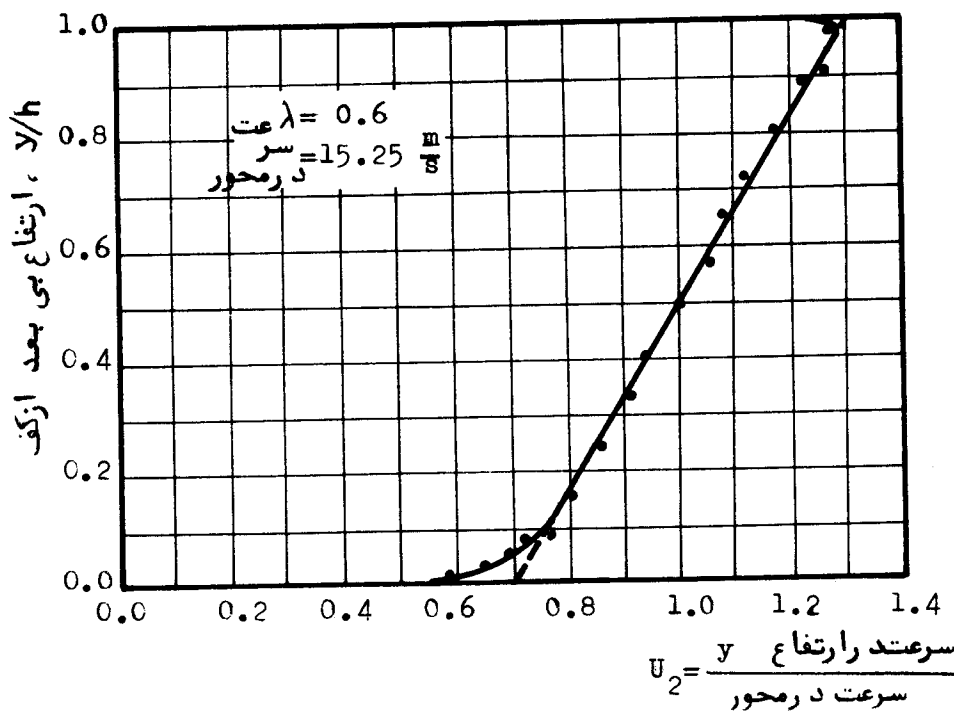
$$\alpha = 1 \cdot 1 / \sqrt{1 + K_0} \quad (9)$$

$$\lambda < \frac{K_0(1+\alpha)}{1 + \alpha + K_0} \quad (10)$$

با مشتق گیری از رابطه فوق می‌توان نشان داد که بازاء کلیه مقادیر K دارای بیشینه‌ای است برابر با $\lambda_{\max} = 1.777$. بدین معنی که با استفاده از این وسیله هیچگاه نمی‌توان بطور مصنوعی جریان برشی خطی که برای آن $\lambda < 1.777$ است در یک تونل باد ایجاد کرد. منحنی تغییرات λ بر حسب K_0 در شکل (۲) نشان داده شده است. برای اطمینان کامل در موقع استفاده از رابطه (۵) که محل میله‌های شبکه را بدست می‌دهد مقدار K را حداقل برابر با $1.05K_0$ در نظر می‌گیریم تا از قدرت جریان حد اکثر استفاده را کرده باشیم. بایستی در نظر داشت که چون K ضریب افت فشار است بنابراین هرچه مقدار آن بیشتر بشود افت بیشتری خواهیم داشت و درنتیجه جریان بعد از شبکه دارای سرعت متوسط‌کمتری خواهد بود.



شکل ۲ - منحنی تغییرات λ بر حسب K_0



شکل ۳- نتایج تجربی سرعت برشی خطی بعد از شبکه میله‌ای [۴]

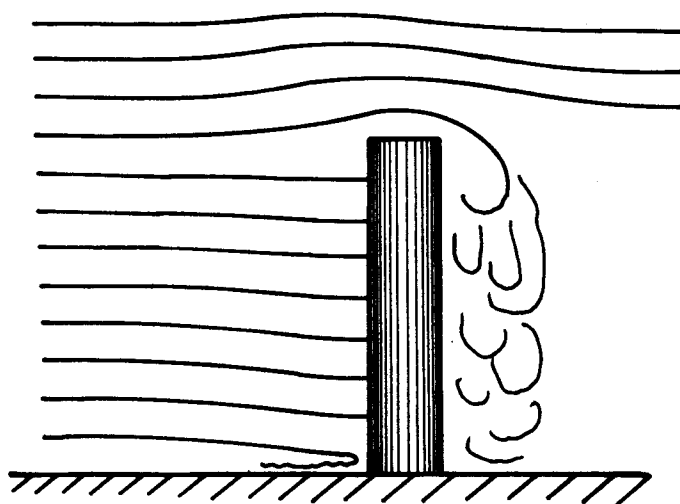
شکل ۳ نیمرخ یک جریان برشی خطی با $\lambda=0.6$ را که عمل "ازاین طریق بدست آمده" [۴] نشان میدهد. قطر میله‌های شبکه $d=1.6 \text{ mm}$ و ارتفاع تونل $h=76.20 \text{ cm}$ بوده، و از ۱۶ میله استفاده شده است. در شکل (۳) علت پراکندگی نقاط در $y/h=0$ وجود لایه مرزی است که قابل کنترل در این محاسبات نمی‌باشد. به علت سرعت کمتر، و در نتیجه لایه مرزی ضخیم تر پراکندگی نقاط در $y/h=0$ بیش از $y/h=1$ است.

۲- تغییر مکان خطوط جریان ایستائی در جریان برشی

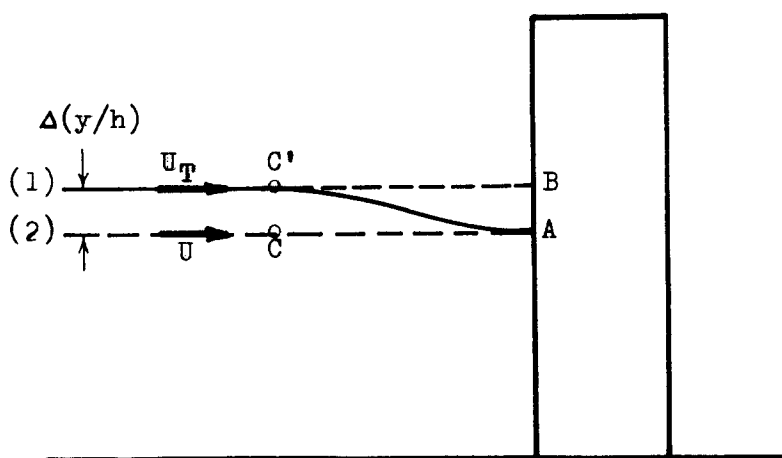
اگر جسمی در معرض جریانی قرار داشته باشد، بنابراین تعریف نقاطی از این جسم که سرعت جریان در آنها صفر است نقاط ایستائی (Stagnation Points) و خطوط جریانی که در این نقاط متوقف می‌شوند خطوط جریان ایستائی (Stagnation Streamlines) نامیده می‌شوند. مکان هندسی نقاط ایستائی خط ایستائی (Stagnation Line) نام دارد. هرگاه استوانه ای در معرض جریان قرار گیرد، به علت تقارن، خط ایستائی بالی می‌شود که در جلوترین قسمت استوانه نسبت به جریان قرار دارد. تغوری و تجربه نشان می‌دهد که در یک جریان یکنواخت خطوط جریان ایستائی قبل از برخورد با جسم، خطوطی مستقیم و موازی هستند.

وقتی جریانی برشی به جسمی نزدیک می‌شود، خطوط جریان قبل از برخورد به جسم تغییر جهت داده و از حالت خطوط موازی خارج می‌شوند. این تغییر جهت به علت وجود گرادیان فشار ایستائی (فسار در نقاط ایستائی) روی سطح جسم می‌باشد [۴]. البته تغییر مکان خطوط جریان نابع نیمرخ سرعت می‌باشد. برای مثال اگر سرعت روبه‌بالا افزایش یابد خطوط جریان در موقع نزدیک شدن به جسم به طرف پائین خم می‌شوند. ولی بایستی توجه داشت که به‌حال این خطوط جریان در امتداد خط ایستائی عمود بر جسم می‌باشند. شکل (۴) خطوط جریان ایستائی را برای یک استوانه در جریان برشی خطی نشان می‌دهد.

برای محاسبه حداقل جابجایی خطوط جریان (ΔY) و یا $\Delta(Y/h)$ به شکل (۵) توجه شود. در این شکل خط جریان شماره (۱) خط جریان واقعی است و U_T سرعت واقعی در امتداد این خط جریان است. این خط جریان در موقع نزدیک شدن به جسم به جای برخورد در نقطه B در نقطه A به جسم برخورد می‌نماید. اگر جسم وجود نداشت خط جریان (۲) از نقطه A با سرعت U عبور می‌کرد. در نقطه A که سرعت به صفر تقلیل پیدا می‌کند ضریب فشار C_{p_0} می‌بایستی برابر با واحد باشد. زیرا اگر رابطه برنولی را بین نقاط C و A بنویسیم خواهیم داشت:



شکل ۴ - خطوط جریان حول یک استوانه در جریان برشی



شکل ۵ - تغییر مکان خط جریان ایستائی در جریان برشی

$$\frac{C_p}{P_0} = \frac{P_A - P_\infty}{\frac{1}{2} \rho U_C^2} = 1 \quad (11)$$

که در آن $P_C = P_\infty$ فشار در نقطه‌ای دور از جسم است و $P_A = P_0$ فشار در نقطه ایستائی است، و نیز $U_C = U$. اما تجربه نشان می‌دهد که ضریب فشار، C_{p_0} در امتداد خط ایستائی در تمام نقاط بیش از واحد است. علت این موضوع این است که در حقیقت نقاط A و C روی یک خط جریان واقع نیستند، و رابطه برترولی دارای خطای خطا می‌باشد. ولی نقاط A و C روی یک خط جریان قرار داشته و رابطه برترولی را می‌بایستی بین این دو نقطه نوشت. در این صورت

$$\frac{(C_p)_T}{P_0} = \frac{P_0 - P_\infty}{\frac{1}{2} \rho U_T^2} = 1 \quad (12)$$

چون در این روابط $U_T > U$ ، بنابراین $(C_p)_T > (C_p)_0$ و درنتیجه اگر ضریب فشار براساس U محاسبه شود بیش از واحد خواهد شد. اکنون می‌توان حداقل تغییر مکان خط جریان را محاسبه نمود. از تقسیم روابط (11) و (12) خواهیم داشت:

$$(C_p)_0 / (C_p)_T = (U_T/U)^2$$

در نتیجه

$$U_T/U = \sqrt{C_{p_0}} \quad (13)$$

چنانچه نیميخ سرعت را خطی فرض کنیم، با استفاده از رابطه (۷) نتیجه می شود:

$$y/h = U/\lambda - 1/\lambda + 1/2 \quad (14)$$

$$y_T/h = U_T/\lambda - 1/\lambda + 1/2 \quad (15)$$

$$\Delta(y/h) = (y_T/h - y/h) = (U/\lambda) \cdot (U_T/U - 1)$$

و بنابراین

با جایگذاری U_T/U از (۱۳) خواهیم داشت:

$$\Delta(y/h) = (U/\lambda) \cdot (\sqrt{C_{p_0}} - 1) \quad (16)$$

در آزمایشی [۴] در یک تونل باد به ارتفاع 2CM و $h=76.2\text{CM}$ ضرائب فشار براساس U بدست آورده شده و نتایج در جدول زیر ارائه گردیده اند. نسبت ارتفاع استوانه (H) به قطر آن (D) $H/D = 7.5$ می باشد.

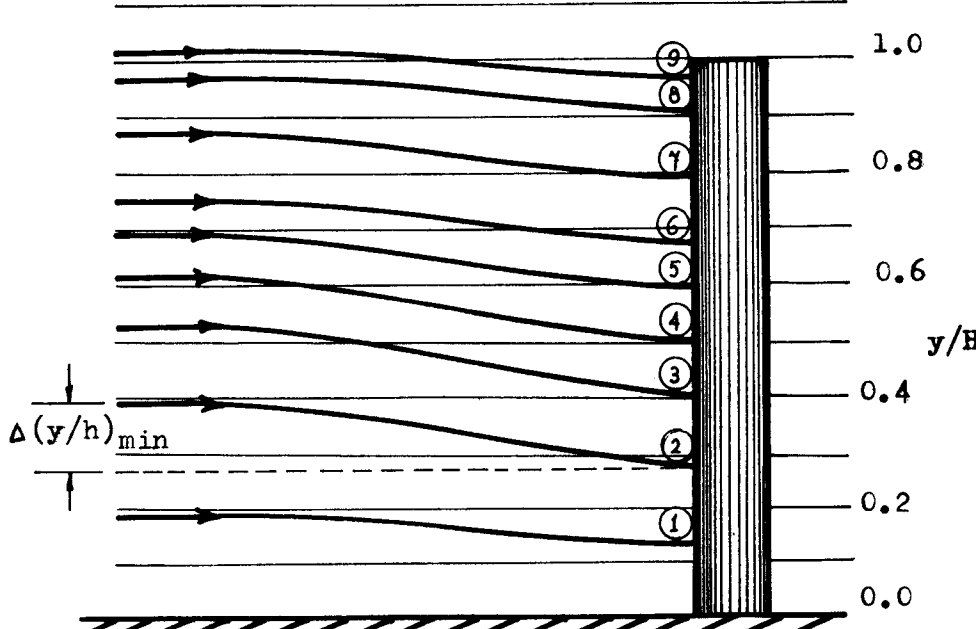
شكل (۶) خطوط جریان واقعی را که براساس رابطه (۱۶) و نتایج جدول شماره ۱ محاسبه شده اند نشان می دهد. دقت شود که

$$\Delta y/h = (y/H) \cdot (H/h)$$

جدول شماره ۱ - نتایج تجربی ضرائب فشار ایستائی بر حسب ارتفاع

[۴] برای یک استوانه در جریان برشی

y/H	۰.۱۳۰	۰.۲۶۷	۰.۳۸۹	۰.۴۹۵	۰.۵۸۸	۰.۶۶۷	۰.۷۹۲	۰.۹۰۸	۰.۹۵۲
C_p	۱.۰۹۷	۱.۲۱۵	۱.۲۲۶	۱.۲۰۵	۱.۱۵۸	۱.۱۲۲	۱.۱۱۱	۱.۰۸۹	۱.۰۴۸
شماره نقاط	۱	۲	۳	۴	۵	۶	۷	۸	۹



شكل ۶ - خطوط جریان ایستائی برای استوانه در جریان برشی خطی

بطورکلی در محاسبه نیروی رانش (Drag Force) وارد بر یک سازه در جریان برشی می‌باشد. موضوع تغییر مکان خطوط جریان را حتماً مد نظر قرار داد. در محاسبه ضرب رانش، که تابع نیروی ماندگاری باشد چون سرعت در هر نقطه در نزدیکی جسم بیش از سرعت در همان ارتفاع در نقطه‌ای دور از جسم است، نیروی رانش افزایش می‌یابد. در صورتیکه این موضوع در نظر گرفته نشود برای مثال در موقع محاسبه نیروی حاصل از باد روی یک سازه - می‌باشند. می‌باشند. در صورتیکه این موضوع در نظر گرفته نشود برای مثال در موقع محاسبه نیروی حاصل از باد روی یک سازه - می‌باشند.

فهرست منابع

- [1] Elder, J.W., "Steady Flow Through Non-Uniform Gauze of Arbitrary Shape". Jour. Fluid Mech., Vol. 5, 1959, pp. 355-68
- [2] Owen, P.R., & Zienkiewitz, H.K., "The Production of Uniform Shear Flow in a Wind Tunnel". Jour. Fluid Mech., Vol. 2, 1957, pp. 521-31
- [3] Mc Carthy, J.H., "Steady Flow Past Non-Uniform Wire Grids". Jour. Fluid Mech., Vol. 19, 1964.
- [4] Farivar, Dj. "An Experimental Investigation of Uniform and Linearly Sheared Flows Around Cylinders of Finite Length". Ph. D. Thesis, in Mech. Eng. & Applied Mech., Univ. Of Pennsylvania, 1975.